ISSN: 2661-4839



# 定量脑电图在阿尔茨海默病和血管性痴呆中的研究进展

提慧贤\*

武强县街关镇中心卫生院内科 河北衡水 053000

摘 要:脑电图(EEG)在阿尔茨海默病(AD)和血管性痴呆(VD)的临床应用中存在一定价值,诸多研究也证实了定量脑 电图(QEEG)在AD及VD的鉴别、早期诊断及治疗中的实用价值。

关键词: 阿尔茨海默病: 血管性痴呆: 定量脑电图

#### 1. 脑电图与 AD 和 VD

AD 的发病机制包含胆碱能神经元缺失, 进而导致乙酰 胆碱不足,而引起突触电位同步紊乱,并通过 EEG 以慢波 形式表现出来,达到反映突触电位异常变化的目的<sup>[1]</sup>。EEG 的慢波化可以反映胆碱神经元缺失、乙酰胆碱不足, 病变尤 其见于基底神经节、海马和新皮层[2]。乙酰胆碱和基底前脑 病变会导致 EEG 快波活动减少和慢波的增加, 因为以上部 位负责脑电的非同步性,其病变时,无法抑制皮质慢振荡, 而发生慢节律[3]。乙酰胆碱功能障碍可表现为认知损害[4]。 AD 的典型脑电表现为  $\alpha$  波减少或消失,  $\theta$  波和  $\delta$  波增 加, AD 的病理变化导致了 EEG 的这些变化, 而且 AD 病情 严重程度与脑电图异常程度呈正比, θ 波可演变为主要背 景活动<sup>[5]</sup>。大部分 AD 患者存在全脑功能的下降, 但各脑区 功能下降程度并不一致, 轻度认知功能障碍 (MCI) 伴颞区、 额区复杂度异常者容易发展为 AD, 脑电图可一定程度预警 MCI 转变为 AD<sup>[6]</sup>。

研究发现<sup>[7]</sup>经卡方检验 AD 组与 NC 组比较,差异有显 著性意义,与之前报导一致即 AD 与 NC 的 EEG 异常率有 显著差异<sup>[8]</sup>, 且 NC 组、AD 组、VD 组的 EEG 异常率递增 [7]。研究 [9] 发现在 EEG 异常程度相同时, VD 组较 AD 组认 知水平总体偏高,且两组间 MMSE 评分 t 检验有显著差异, P<0.05。因为 VD 是脑血管病引发的, 而 AD 则以大脑功能 性改变为主, 所以前者认知水平更高。由此, 当鉴别 AD 和 VD时, EEG 异常程度高,而认知水平相对较好的患者,应 倾向于诊断为 VD。

# 2. 定量脑电图(QEEG)

是通过电脑对脑电图及其脑电诱发电位给予时域和频 域数字化显示的一种辅助检查手段。主要包括地形图、频域 分析、时域分析等内容。

# 2.1 定量脑电图与 AD

临床上常用神经心理学量表来测评 AD 患者的认知水 平,但这种测评收到患者文化水平、主观配合程度的限制, 不能客观、准确的反应患者的病情。而 OEEG 结合了数学 方法与计算机技术,将原始脑电图数据量化,把脑电波波幅 与时间关系数字化,能直接显示出大脑神经元细胞的活动情 况[10], 更加客观, 容易配合。如果将 OEEG 与心理学量表 测评结合起来,能够明显提高 AD 的早期诊断率。

AD在普通脑电图中呈现  $\alpha$  与  $\beta$  波减少,  $\theta$  与  $\delta$  波增多。 而在 OEEG 中 AD 总体呈现慢波化, 其中早期变化为 β 功 率降低、 $\theta$  波功率增加;后期为 a 功率降低、 $\delta$  功率增加 [11]。即在 QEEG 中呈现 β 功率降低和 θ 功率上升则提示为 轻度 AD 源性认知障碍;呈现 a 功率下降和 δ 功率上升则 为重度 AD[12]。脑电表现能密切反应大脑认知功能,为了消 除个体因素对脑电波功率影响,更好的反映神经功能,可以 计算某频段功率与总功率的比例[13]。

通过快速傅立叶转换 (FFT) 等方法, 功率谱分析将原 始 EEG 的脑电功率随频率变化,获得的绝对功率值表示各 个频带脑波与一定时间段之比[14]。这个值尚无标准,因为 其极易被个体因素影响。而相对功率值是相对稳定的指标, 使各个频段处于同一基线水平,消除干扰,其用脑区某一频 段值比总功率值获得的百分比表示。其中相对 θ 功率、  $\delta + \theta$  与 a+β 功率比 [( $\delta + \theta$ )/(a+β), 即 DTABR] 等是常用 的相对功率比。AD 的研究中越来越多的运用相对功率比。 国内外学者在 AD 中用 DTABR 来量化脑电慢波化, 研究发 现 DTABR 值越高, MMSE、MoCA 评分越低,即 DTABR 与 认知水平下降程度呈正相关,DTABR 值越大则认知水平下降



越重  $^{[15-16]}$ 。MUSAEUS 等  $^{[17]}$ 研究发现,相对  $\theta$  功率与 p-Tau/ A  $\beta$  42 比值呈正相关,尤其右后区明显,表明相对  $\theta$  功率增加可作为标志物协助 AD 相关认知障碍的早期诊断。另外,神经心理学量表评分、脑脊液总 Tau 蛋白 (T-Tau) 及磷酸化 Tau 蛋白 (p-Tau) 水平也与相对  $\theta$  功率关系密切。

徐清等<sup>[18]</sup>通过对比 NC、AD 和 VD 三组的 DTABR 值 发现 AD 组、NC 组各脑区左右对称部位 DTABR 值无明显差异,而 VD 组因其左侧皮层缺血发生率高,其左额叶、左 颞叶、左顶叶及左中央均较右侧对称部位 DTABR 值更高。NISHIDA、CASO 等 [19, 20] 发现 AD 的顶区及感觉区域较额颞叶痴呆 (FTD) 的 β 1 频带降低, θ 功率增高。

龙霞等  $^{[21]}$  研究发现,AD 患者的认知功能下降程度能够 敏感的通过 DTABR 值来进行评估。AD 患者可以通过全脑 相对 a、 $\beta$  及  $\theta$  功率做出早期诊断,尤其是相对  $\theta$  功率能 作为 AD 源认知障碍的早期标志协助其早期诊断。

通过比较 QEEG 各个指标在 AD 认知评估中的敏感性, 有研究证明应用频谱分析敏感性高于应用脑区节律的一致性 [22], Gawel M [23] 等研究发现 AD 与 VD 可以根据颞区的平均 节律、δ与慢波的功率谱比值鉴别。QEEG 结合神经心理 学测评可对 AD 相关认知障碍做出早期诊断,避免漏诊,鉴 别痴呆类型,并对认知水平做出评估[24]。杨柳[25]通过研究 发现 OEEG 早期筛查 AD 相关认知障碍的效能达到 0.70 左右, 左额叶和右颞叶 θ 相对功率可能是早期筛查 AD 相关认知 障碍的标志物。定量脑电图有潜力成为早期 AD 相关认知障 碍患者的筛查手段。定量脑电指标具有横向预测情景记忆、 非语言情景记忆、执行、视空间功能损害的潜力, 且可通过 特定脑电标志物对具体认知域功能进行横向预测,简单定量 脑电图具有部分替代复杂成套认知域评估量表的潜力。定量 脑电指标与血 P-tau217 具有相关性,右顶叶 β 相对功率是 血 P-tau217 水平升高的显著影响因子, 可在一定程度上反 映血 P-tau217 水平升高。

### 2.2 定量脑电图与 VD

VD 被称为"可逆性痴呆",目前认为具有潜在的可防治性,因此早期发现和预防显得尤为重要<sup>[26]</sup>。张振馨等<sup>[27]</sup>调查发现 65 岁以上老年人 VD 总患病率为 1.3%,男性高于女性,男性、女性患病率分别为 1.4%、1.2%,该研究在北京、上海、成都、西安开展。Court 等研究发现 VD 患者脑脊液中的乙酰胆碱下降 40%<sup>[28]</sup>, VD 患者常规 EEG 的表现为

δ 和 θ 波活动增多 , a 和 β 波活动减少 (29) 。 EEG 慢波化会 随着痴呆程度的加重而更为显著。

徐清等 [30] 通过对 VD 和 NC 各 30 例入组对照研究,期间采用 QEEG 功率谱分析技术及视觉 EEG 评分。视觉 EEG 评分引入了 Gawel 采用的 8 级评分,根据慢波数量分为 8 个等级 [28]。该研究观察指标采用  $\delta + \theta / a + \beta$  值。VD 患者的脑功能水平可以通过 QEEG 的  $\delta + \theta / a + \beta$  值变化更加客观地反映出来,为了避免得到错误结果,需注意 QEEG 要与原始脑电图相结合。其中  $\delta + \theta / a + \beta$  值越大可以理解为慢波越多、快波越少,也即  $\delta + \theta / a + \beta$  值越小那么慢波越少、快波越多。

该研究 [30] 通过观察 VD 及正常对照组的 QEEG 发现,VD 组左额叶、左颞叶、左顶叶及左中央 DTABR 值显著高于右侧对称部位,且显著高于对照组相应部位,这与 VD 患者病理损伤相关,因为 VD 患者多有左侧皮层缺血损伤。两组的视觉 EEG 评分无显著性差异,视觉 EEG 评分越高,其认知损害越重,既往 Gawel 等 [28] 也有同样发现:视觉 EEG 评分虽无法帮助 VD 的早期诊断,但可评估认知水平。VD 组各区域 DTABR 值越大,慢波功率越高,EEG 慢波化越明显,MMSE 评分越低,患者痴呆程度越严重。这在国际上已有类似报道 [28,31],可见定量 QEEG 不断能协助 VD 做出早期诊断,判断病情严重程度,亦能客观地反映大脑的损害程度。

#### 3. 总结

脑电图检查结合神经心理学评估,不仅可以帮助 AD 和 VD 做出早期诊断、鉴别,评估认知损害程度,还能对了解病情进展和判断预后有实用价值 [32]。AD 和 VD 患者脑电图都可以表现为快波减少,慢波增多,且随着痴呆程度的加重,慢波数量增加更明显。相同 EEG 改变程度下,认知功能较高的倾向于诊断为 VD。

QEEG 在 AD 源性认知障碍患者中可以早期发现全脑复杂性降低、波形同步性减弱、慢波化及(相对 θ 功率、DTABR 值等)相对功率比升高,能够帮助 AD 早期诊断及病情评估,QEEG 相对其他辅助检查手段更为敏感、实用<sup>[33]</sup>。由于脑脊液或 PETCT 检测 A β 或 tau 蛋白具有侵入性、费用昂贵、基层医院难以获得等缺点,不适宜广泛推广。定量脑电图作为一种客观、敏感的痴呆辅助检查项目,安全无创、易配合,价格相对便宜。定量脑电指标与血 P-tau217 具有相关性,具有横向预测血 P-tau217 的潜力,可有望减轻患

ACADEMIC

者经济负担;定量脑电图具有部分替代成套认知域量表检查的潜力,尤其适用于基层或社区早期筛查,且简单无创性价比高,对于 AD 相关认知障碍早期筛查具有重要意义。

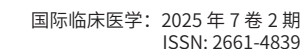
QEEG 将原始 EEG 数量化,与常规脑电图相比更简单、 客观、量化。患者认知功能损伤越重, QEEG 的相对功率比 越高,即 QEEG 异常程度越重。QEEG 异常程度与患者的脑 功能状态呈反比,与患者脑组织损伤程度及脑认知功能损害 程度呈正比。QEEG 可优先于头颅 CT 检查发现脑梗死患者 的脑部缺血损伤性改变, 因为脑梗死患者其脑电波的异常往 往优先于大脑的形态学改变[34]。因而病变早期 QEEG 检查 自有其较明显的优势。行 QEEG 检查可发现 VD 患者的特征 性神经电生理学特点,如脑电复杂度、同步性降低,慢波化, P300 潜伏期延长, 非线性指标规则性降低等, 可为 VD 的 相关临床研究提供有力的依据。QEEG 在痴呆的辅助检查中 是一项灵敏、客观、无创、经济的检查手段,不但可以协助 VD 的早期诊断,鉴别痴呆类型,还可以评估病情严重程度, 指导治疗和预后。虽然 VD 种类很多, 但相关鉴别手段及 其神经电生理的研究及使用还相对较少。QEEG 有望在未来 VD的早期、鉴别诊断、评估病情,判断预后中成为重要的一环。 将来我们可以开展更多大样本神经电生理及动物实验,深入 探索 QEEG 在 VD 中的临床应用价值,充分发挥 QEEG 在 VD 的神经电生理学证据中的优势,进一步加深人们对于 VD 的 全面理解,更好地做好 VD 的预防、早期诊断、鉴别诊断、 治疗及改善预后,降低 VD 患病率,提高 VD 治疗效果及患 者的生活质量, 使 QEEG 在临床上广泛推广开来 [35]。

#### 参考文献:

- [1]STYLIANOU M, MURPHY N,PERAZA LR, et al. Quantitative e-Lectroencephalography as a marker of cognitive fluctuations in dementia with Lewy bodies and an aid to differential diagnosis[J]. Clin Neurophysioly,2018,129(6):1209–1220.
- [2] MORETTI DV, PATERNICO D, BINETTI G, et al. EEG upperlow alpha frequency power ratio and the impulsive disorders net—work in subjects with mild cognitive impairment[J]. Curr AlzheimRes, 2014.11(2).
- [3] BABILONIC, FRISONI G, STERIADE M, et al. Frontal whitematter volume and delta EEG sources negatively correlate in awake subjects with mild cognitive impairment and Alzheimer' sdisease[J]. Clin Neurophysi

ol,2006,117(5),1113-1129.

- [4] BRAYET P,PETIT D,FRAUSCHER B,et al. Quantitative EEGof rapid eye movement sleep: a marker of amnestic mild cognitive impairment [J]. Clin Eeg Neurosci, 2015, 47(2). 134.
- [5] 马将,黄洁,韩振萍,等.  $\alpha$  波音乐对脑卒中后认知功能损害患者脑电  $\alpha$  波及认知功能的影响研究 [J]. 中国康复,2015;30(5):342-5.
- [6] 于健,王兵.阿尔茨海默病、轻度认知障碍、健康老人脑电图及神经心理学测试比较研究[J].中国医药导报,2014;11(5);31-3,36.
- [7] 许杭雨,蒋正言,于恩彦,阿尔兹海默病与血管性 痴呆患者脑电图及甲状腺功能分析[J],心脑血管病防治,1009 . 816x(2009)02-0123-03.
- [8] 毛学惠. 阿尔采默病 40 例临床分析 [J]. 山东医药, 2003, 43(17): 54.
- [9] 周爱红, 贾建平. 画钟测验对轻度血管性认知障碍及血管性痴呆的诊断作用[J]. 中国神经精神疾病杂志,2008,34(2): 72—75.
- [10] 孙明娟,焦富英.阿尔茨海默病患者定量脑电图 检测分析及与血清学指标的相关性研究[J].海南医学院学报,2015,21(9)1228-1231.
- [11] HÖLLER Y,BATHKE AC,UHL A,et al. Combining SPECTand quantitative FEG analysis for the automated differential diagnosis of disorders with amnestic symptoms[J]. Front Age Neurosci,2017.9.290.
- [12] ROH JH,PARK MH,KO D,et al. Region and frequency specificchanges of spectral power in Alzheimer's disease and mild cognitive impairment[J].Clin Neurophysiol, 2011,122(11):21692176.
- [13] 成东,刘兴高,成平,等,阿尔茨海默病和血管性 痴呆的定量脑电图研究 [J]. 检验医学与临床,2017,14(5):633-636.
- [14] 尹小明. 定量脑电图在缺血性脑卒中的临床应用与新进展[J], 中风与神经疾病杂志, 2016.33(3):283-285.
- [15] WOON WL, CICHOCKI A, VIALATTE F, et al. Techniques forearly detection of Alzheimer's disease using spontaneous EEG recordings[J]. Phy Measurement, 2007, 28(4):335-347.





- [16] 周成东,刘兴高,成平,阿尔茨海默病和血管性痴呆的定量脑电图研究[J],检验医学与临床,2017.14(5):633-636.
- [17] MUSAEUS CS,ENGEDAL K, HGH P, et al. EEG theta power is an early marker of cognitive decline in dementia due to Alzheimers disease[J], J Alzheim Dis Jad, 2018, 64(4):1–13.
- [18] 徐清,徐文炜,张玉琦,等,阿尔茨海默病与血管性痴呆定量脑电图波频差异研究[J].中国全科医学,2013,16(22): 2584-2588。
- [19] NISHIDA K,YOSHIMURA M,ISOTANI T,et al. Differences inquantitative EEG between frontotemporal dementia and Alzheimer's disease as revealed by LORETA[J].Clin Neurophysiol,2011,122(9):1718.
- [20] CASO F,CURSI M,MAGNANI G,et al. Quantitative EEG andLORETA:valuable tools in discerning FTD from AD? [J]. Neurobiol Age,2012,33(10):2343–2356.
- [21] 龙霞, 冯玉雪, 等, 定量脑电图在阿尔茨海默病中应用的荟萃分析[J]. 阿尔茨海默病及相关病杂志, doi:10.3969/j.issn.2096-5516.2021.04.013.
- [22] Renato Anghinah, Paulo Afonso Medeiros Kanda. Alzheimer's disease qEEG Spectral analysis versus coherence. Which is the best measurement [J]. ArqNeuropsiquiatr 2011,69(6):871–874.
- [23] Gawel M, Zalewska E, Szmidt–Salkowska J. The value of quantitative EEG in differential diagnosis of Alzheimer's disease and subcortical vascular dementia[J]. Journal of the Neurological Sciences, 2009, 283:127–133.
- [24] Garn H, Waser M, Deistler M, et al. Quantitative EEG in Alzheimer's disease: cognitive state, resting state and association with disease severity [J]. Internat ional Journal of Psychophysiology, 2014, 93(3):390–397.
- [25] 杨柳 阿尔茨海默病相关认知障碍的定量脑电图研究 [D], 电子科技大学, 2023 年.

- [26] Joseph P, Broderic K, William M, Feinberg lecture :stroke therapy in theyear 2025 : burden, breakthroughs, and bariers to progress [J]. Stroke, 2004;35(1):20541.
- [27] Zhang ZX,Zahner GE, Román GC,et al. Dementia subtypes in China:prevalence in Beijing,Xian, Shanghai, and Chengdu[J]. Arch Neurl 2005;62(3):44753.
- [28] Court J, Perry E, Kalaria R, Neurotransmitter control of the cerebral vas. culature and abnormalities in vascular dementia. In: Erkinjuntii T, Gauthier S, ed. Vascular cognitive impairment [J]. London: Martin Dunitz, 2002:167–89.
- [29] Gawel M, Zalewska E, Szmidt–Salkowska E, e al. Does EEG visual and quantitative reflect mental impairment in subcorlical vascular dementia[J]. Neurol Sci, 2007;257 (1–2):11–6.
- [30] 徐清,徐文炜,等,定量脑电图在血管性痴呆中的应用[J].中国老年学杂志,10.3969/i.issn.10059202.2014.24.020.
- [31] 刘 欣,刘龙辉,刘芳。脑电图在血管性痴呆早期诊断中的应用分析 [J]. 赣南医学院学报,2011;31(1):40-1.
- [32] 卢艳辉. 脑电图、脑电地形图在老年痴呆中的应用 [J]. 中国误诊学杂志,2008(3): 564—565.
- [33] 龙霞,定量脑电图在阿尔茨海默病中的临床应用研究进展[J].现代医药卫生,10,3969/j.issn.1009-5519.2019.05.018.
- [34] 朱艳秋, 多发性梗死性痴呆的脑电图分析 [J]. 临床神经电生理学杂志, 2003:12(3):169.
- [35] 纪青灼,程为平,马莉等,定量脑电图在血管性痴呆中的应用进展[J]. 医学研究杂志,10.11969/j.issn.1673-548X.2023.03.004.

## 作者简介:

提慧贤(1985年10月),女,汉族,河北省衡水市,学历:在读研究生,单位:武强县医院,职位:主治医师,研究方向:阿尔茨海默病